

УДК 539.18

ДИФФЕРЕНЦИАЛЬНОЕ СЕЧЕНИЕ  
И ВЕКТОРНАЯ АНАЛИЗИРУЮЩАЯ СПОСОБНОСТЬ  
РЕАКЦИИ УПРУГОГО DP-РАССЕЯНИЯ ПРИ ЭНЕРГИИ 2 ГэВ

А.А. Терехин<sup>1),2)\*</sup>, В.В. Глаголев<sup>2)</sup>, В.П. Ладыгин<sup>2)</sup>, Н.Б. Ладыгина<sup>2)</sup>

<sup>1)</sup>Белгородский государственный университет,

ул. Студенческая, 14, Белгород, 308007, Россия

<sup>2)</sup>Объединенный институт ядерных исследований,

ул. Жолио-Кюри, 6, Дубна, 141980, Россия, \*e-mail: [taa@uc.jinr.ru](mailto:taa@uc.jinr.ru)

**Аннотация.** Представлены результаты измерений и процедура обработки данных по угловой зависимости векторной анализирующей способности  $A_y$  и сечению реакции упругого dp-рассеяния при энергии 2 ГэВ. Полученные результаты находятся в хорошем согласии с мировыми экспериментальными данными и с теоретическими расчетами, выполненными в рамках релятивистской модели многократного рассеяния.

**Ключевые слова:** упругое dp-рассеяние, дифференциальное сечение, анализирующая способность.

### Введение

В связи с активным изучением природы ядерных сил и ненуклонных степеней свободы, в последнее время сильно возрос интерес к простейшим ядерным реакциям и к их поляризационным характеристикам. Исследование поляризационных эффектов необходимо для решения многих современных проблем ядерной физики и физики элементарных частиц. Структура легких ядер интенсивно исследуется в последние несколько десятилетий с помощью как электромагнитных [1], так и адронных пробников [2]. Накоплено существенное количество экспериментальных данных по спиновой структуре легких ядер на малых межнуклонных расстояниях. Реакции  $p(d, p)d$ ,  $^3\text{He}(d, p)^4\text{He}$  или  $^3\text{He}(d, ^3\text{He})d$  являются простейшими процессами с большой передачей импульса. Они могут использоваться как инструмент для изучения структуры дейтрона и  $^3\text{He}$ , а также механизмов взаимодействия нуклонов на малых расстояниях.

Дейtron обладает спином, равным 1, что дает широкие возможности в проведении многочисленных поляризационных экспериментов, которые позволяют получить новую информацию о поведении различных независимых наблюдаемых. В отличие от статических свойств дейтрона (энергия связи, среднеквадратичный радиус, магнитный момент), его структура на малых расстояниях изучена гораздо хуже. Высокоимпульсные компоненты в дейтронных волновых функциях отвечают области малых межнуклонных расстояний ( $r_{NN} < 1 \text{ Фм}$ ), где нуклоны уже заметно перекрываются и теряют свою индивидуальность. Изучение поведения поляризационных наблюдаемых, чувствительных к спиновой структуре дейтрона на малых межнуклонных расстояниях, позволит



получить информацию о проявлении ненуклонных степеней свободы и релятивистских эффектах.

За последние годы был проведен ряд исследований поляризационных наблюдаемых реакций др-упругого рассеяния в различных областях энергий. Целью исследований является изучение поляризационных наблюдаемых при промежуточных и высоких энергиях. Для 270 MeV были получены данные по сечению реакции, коэффициенты передачи поляризации от дейтрана протону  $K_{ij}$ , дейтронным векторной  $A_y$  и тензорным  $A_{ij}$  анализирующими способностям, а также поляризации  $P_y$  [3]. Сечение и векторная анализирующая способность хорошо описываются фаддеевскими вычислениями, основанными на новых NN-потенциалах, с использованием Таксон-Мельбурнской трехнуклонной силы [4]. С другой стороны, тензорная анализирующая способность  $A_{ij}$ , коэффициенты передачи  $K_{ij}$  и поляризация  $P_y$  этими вычислениями не описываются. Также для 270 MeV были получены данные по сечению,  $A_y$  и  $A_{ij}$  для углового диапазона в с.ц.м.[5]. Сравнение с фаддеевскими расчетами показывает хорошее согласие всех компонент анализирующих способностей. Заметное расхождение наблюдается в сечении (30 %) вблизи угла  $\theta^* = 120^\circ$ .

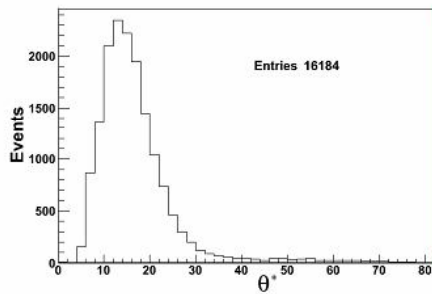


Рис. 1. Распределение событий по углу рассеяния  $\theta^*$

С увеличением энергии все большую роль начинают играть релятивистские эффекты и ненуклонные степени свободы. Другим важным аспектом является то, что анализирующие способности реакции имеют достаточно большое значение для проведения эффективной поляриметрии в широком диапазоне энергий дейтрана. Недавно были получены данные по анализирующим способностям  $A_y$  и  $A_{ij}$  при 880 MeV в угловом диапазоне  $60^\circ < \theta^* < 140^\circ$  [6].

## 1. Эксперимент

Набор данных осуществлялся в серии экспериментов на 100 см водородной камере, экспонированной в выведенном пучке дейтронов синхрофазотрона с энергией 2 ГэВ. Использование пузырьковых камер примечательно тем, что наблюдение можно проводить в условиях  $4\pi$  геометрии. Характерной особенностью водородной камеры является то,

что взаимодействие происходит только с протонами (так называемая чистая мишень). Кроме того, камера находится в магнитном поле, что помогает проводить идентификацию по массе вторичных частиц.

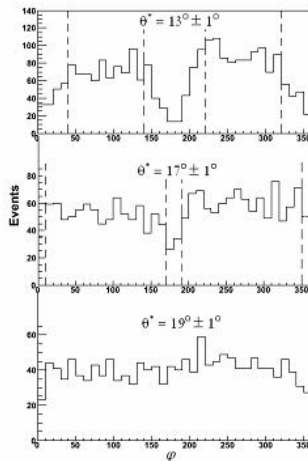


Рис. 2. Распределения по азимутальному углу  $\varphi$  для разных углов

Источник поляризованных дейtronов "Полярис" [7] обеспечивал дейтроны с теоретическими значениями векторной и тензорной поляризаций:  $(P_z, P_{zz}) = (+2/3, 0)$ ,  $(-2/3, 0)$  – поляризованные моды и  $(0, 0)$  – неполяризованная мода. Эти состояния чередовались в циклах ускорителя, соответствующие метки передавались на регистрирующую аппаратуру камеры. События отбирались на просмотровых столах, измерялись на полуавтоматах и автомате HPD в ОИЯИ. Математическая обработка проводилась с помощью адаптированных программ THRESH [8] (геометрическая реконструкция) и GRIND [9] (кинематическая идентификация) CERN, а также цепочки вспомогательных программ для отбора реакций и записи результатов на DST (ленту суммарных результатов). События классифицировались по результатам программы кинематической идентификации (GRIND) с использованием данных по оценке ионизационных потерь. В каждый кадр пленки впечатывалась с помощью информационного табло необходимая для последующей обработки служебная информация. В частности, при работе в пучке поляризованных дейтронов, впечатывалась в закодированном виде приходившая в каждом цикле ускорения с источника поляризованных частиц "ПОЛЯРИС" информация о состоянии поляризации. В нашем случае – векторной. Эта информация сохранялась для каждого события и на DST.

Дейтронная поляризация вычислялась из анализа азимутальной асимметрии нуклонов отдачи при квазисвободном рассеянии на протонной мишени. Анализ проводился как для всех событий, так и для событий в области малых переданных импуль-



сов ( $k < 0.065 \text{ GeV/c}$ ), т.к. в последней дейtronной и нуклонной векторные поляризации приблизительно равны. Полученное значение дейtronной поляризации равнялось  $P_z^d = 0.488 \pm 0.061$  [10].

## 2. Обработка данных

Значения для векторной анализирующей способности  $A_y$  находились путем обработки событий, соответствующих разным состояниям поляризации пучка дейтронов (таким состояниям соответствуют моды поляризации 1 и 2). Распределение по углу рассеяния  $\theta^*$  в системе центра масс представлено на рис. 1.

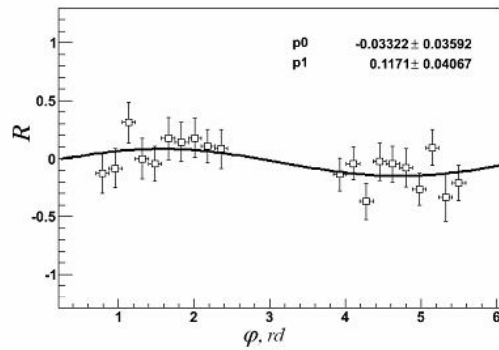


Рис. 3. Распределение величины  $R$  по азимутальному углу  $\varphi$  для значений угла рассеяния  $12^\circ < \theta < 14^\circ$

Рабочая часть спектра разбивалась на последовательные интервалы (бины). Число событий в каждом интервале нормировалось на ширину последнего. Для каждого интервала было построено распределение по азимутальному углу  $\varphi$ . Для малых углов рассеяния  $\theta^*$  существенны потери событий (рис. 2), обусловленные тем, что на стадии просмотра треки протонов отдачи с импульсами меньше 80 МэВ/с уже не видны в камере. Кроме того, имеют место азимутальные потери, связанные с оптикой камеры [11]. В этой области исключались интервалы, соответствующие потерянным событиям. Исключение по интервалам проводилось симметрично относительно значений  $\varphi = 0^\circ$  и  $\varphi = 180^\circ$ . Оставшиеся события использовались для вычисления дифференциального сечения и анализирующей способности.

Для каждого выбранного интервала по углу производилось вычисление величины  $R$ :

$$R = \frac{N_1 - N_2}{N_1 + N_2}, \quad (1)$$

где  $N_1$  и  $N_2$  – числа событий для значений спиновых мод 1 и 2 соответственно. Аппроксимация полученных данных производилась функцией вида  $p_0 + p_1 \sin(\varphi)$ . На рис. 3, в каче-

стве примера, приведено распределение по азимутальному углу для углов  $12^\circ < \theta^* < 14^\circ$  в с.ц.м.

Для каждого интервала распределения по  $\theta^*$  были получены значения параметров  $p_0$  и  $p_1$  аппроксимирующей функции  $p_0 + p_1 \sin(\varphi)$ . Параметр  $p_0$  имеет смысл так называемой фальшивой асимметрии. Оценочное значение фальшивой асимметрии, полученное аппроксимированием значений параметра  $p_0$ , не превышает 5% и составляет  $p_0 = -0.025 \pm 0.014$ . Параметр  $p_1$  связан с анализирующей способностью  $y$  выражением:

$$A_y = \frac{2}{3} \frac{p_1}{p_y}, \quad (2)$$

где векторная поляризация пучка  $p_y = 0.488 \pm 0.061$  [11].

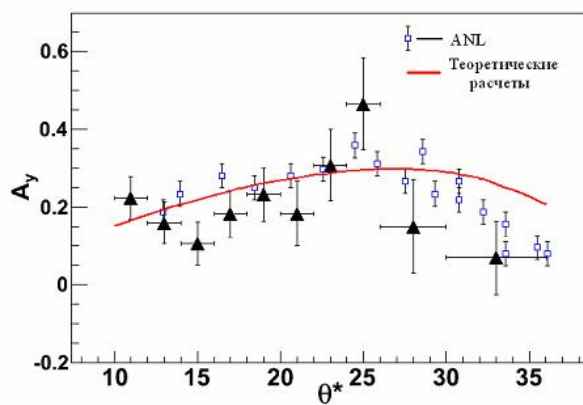


Рис. 4. Анализирующая способность  $A_y$  реакции др-упругого рассеяния при энергии 2 ГэВ. Сплошные символы – результаты данного эксперимента, открытые – данные, полученные в ANL [12]. Линия – результаты расчетов в рамках модели многократного рассеяния [13]

Полученные значения для векторной анализирующей способности  $y$  представлены на рис. 4. Они с достаточной точностью согласуются с данными, полученными в ANL [12], и с расчетами теории [13].

Для вычисления сечения реакции др-упругого рассеяния использовались события, полученные как с поляризованных, так и неполяризованных пучков дейtronов. Проводился анализ распределения по косинусу угла рассеяния  $\theta^*$  в системе центра масс. Для каждого интервала  $\Delta\theta^*$  брался соответствующий интервал  $\Delta \cos \theta^*$  (рис. 5,6). Затем проводилась нормировка на ширину интервала  $\Delta \cos \theta^*$ . Сечение реакции вычислялось по формуле:

$$\frac{d\sigma}{d\Omega} = \frac{1}{2\pi} N(\cos \theta^*) \frac{A}{\Delta \cos \theta^*}, \quad (3)$$



где  $A = 0.0003342 \pm 0.0000007$  [мб/событие] – миллибарн-эквивалент события [14],  $\Delta \cos \theta^*$  – ширина интервала в распределении числа событий по косинусу угла рассеяния  $\theta^*$ .

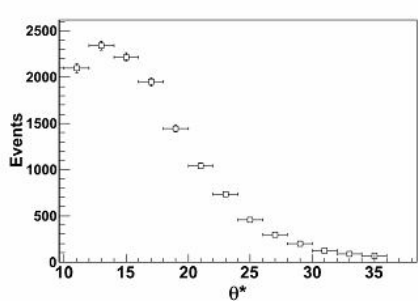


Рис. 5. Распределение событий по углу рассеяния  $\theta^*$

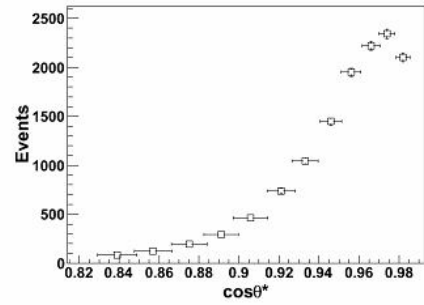


Рис. 6. Распределение событий по  $\cos \theta^*$

С увеличением угла рассеяния  $\theta^*$  уменьшается отклонение от изотропии. При  $\theta^* > 20^\circ$  распределение становится изотропным. В распределении по азимутальному углу  $\varphi$  исключались бины, соответствующие потерянным событиям. Исключение проводилось в тех же пределах, что и при вычислении анализирующей способности  $A_y$ .

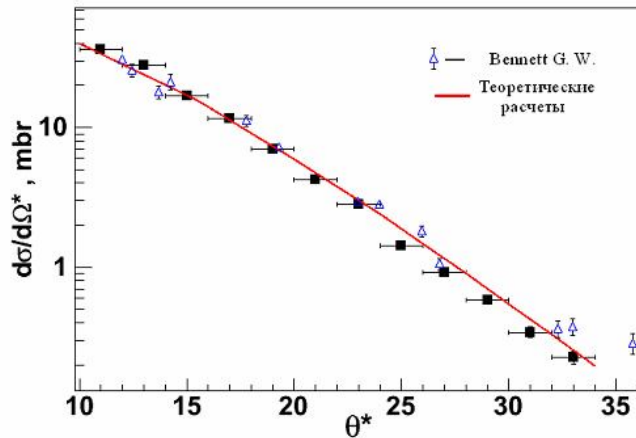


Рис. 7. Дифференциальные сечения в с.ц.м. Сплошные символы – результаты данного эксперимента, открытые символы – данные работы [15], сплошная линия – результаты теоретических расчетов [13]

Полученные значения сечения реакции в зависимости от угла  $\theta^*$  сравнивались с

мировыми данными [15], а также с теоретическими расчетами, выполненными в рамках релятивистской модели многократного рассеяния и, как видно из рис. 7, находятся в хорошем согласии.

### Заключение

Получены значения по векторной анализирующей способности и сечению реакции упругого др-рассеяния при энергии 2 ГэВ в угловом диапазоне  $10^\circ < \theta^* < 34^\circ$  в с.ц.м. Проведено сравнение с мировыми данными и с теоретическими расчетами, выполненными в рамках релятивистской модели многократного рассеяния. Выявлено хорошее согласие теоретических и экспериментальных значений.

### Литература

1. Day D. et al. // Phys.Rev.Lett. – 1979. – 43. – P.1143.
2. Lehar F. // RNP: from Hundreds of MeV to TeV. 2001. V. 1. P. 36.
3. Sakai H. et al. Precise measurement of dp elastic scattering at 270 MeV and three-nucleon force effects // Phys Rev Lett. – 2000. – 162. – P.143.
4. Coon S.A. et.al. // Nucl.Phys. – 1979. – A317. – P.242.
5. Sakamoto N. et al. Measurement of the vector and tensor analyzing powers for the dp elastic scattering at Ed = 270 MeV // Phys. Lett. – 1996. – B.367. – P.60-64.
6. Kurilkin P.K. et al. Measurement of the vector and tensor analyzing powers in dp elastic scattering at the energy of 880 MeV // European Physical Journal. Special Topics. – 2008. – 162. – P.137-141.
7. Anishchenko, et al. AIP Conf. Proc. – 95 (1983). – P.445.
8. CERN T.C.Program Library, sec. THRESH, 1.3. – 1966.
9. CERN T.C.Program Library, sec. GRIND, 30.10. – 1968.
10. Glagolev V.V. et al. The deuteron D-state probability // Zeitchrift fur Physik. – 1996. – A 356. – P.183-186.
11. Глаголев В.В. Оптика метровой водородной пузырьковой камеры // препринт ОИЯИ.
12. Haji Saica M. // Phys. Rev. – 1987. – C36. – P.2010.
13. Ladygina N.B. Measurement of the vector and tensor analyzing powers in dp elastic scattering at the energy of 880 MeV // European Physical Journal. Special Topics. – 2008. – 162. – P.137-141.
14. Bugg D.V. et al. Nucleon-Nucleon Total Cross Sections from 1.1 to 8 GeV/c // Phys. Rev. Lett. – 1996. – 146. – P.980-992.



15. Bennett G. W. et al. Proton-deuteron scattering at 1 BeV // Phys. Rev. Lett. – 1976. – 19. – P.387-390.

DIFFERENTIAL CROSS SECTION  
AND VECTOR ANALYZING POWER  
IN D-P ELASTIC SCATTERING AT 2.0 GeV

A.A. Terekhin<sup>1),2)\*</sup>, V.V. Glagolev<sup>2)</sup>, V.P. Ladygin<sup>2)</sup>, N.B. Ladygina<sup>2)</sup>

<sup>1)</sup> Belgorod State University,

Studentcheskaja St., 14, Belgorod, 308007, Russia

<sup>2)</sup> Joint Institute for Nuclear Researches,

Zholio-Kjuri St., 6, Dubna, 141980, Russia, \* e-mail: [taa@uc.jinr.ru](mailto:taa@uc.jinr.ru)

**Abstract.** The results of measurements as well as handling procedure for the data on the angular dependence of the vector analyzing powers  $A_y$  and differential cross section for dp-elastic scattering at  $E_d = 2$  GeV are reported. The obtained data are in good agreement with the existing data and theoretical calculations made in the framework of the relativistic multiple scattering model.

**Key words:** elastic dp-scattering, differential cross-section, analysis possibility.